

Figure 7. Variations mensuelle et saisonnière des concentrations ($\mu\text{g/L}$) de dichloroacétonitrile (DCAN) pour Ottawa (a) & (b), Hull (c) & (d) et Buckingham (e) & (f); brute (B) \square , traitée (T) \square , distribution 1 (D1) \square , distribution 2 (D2) \square et distribution 3 (D3) \square .

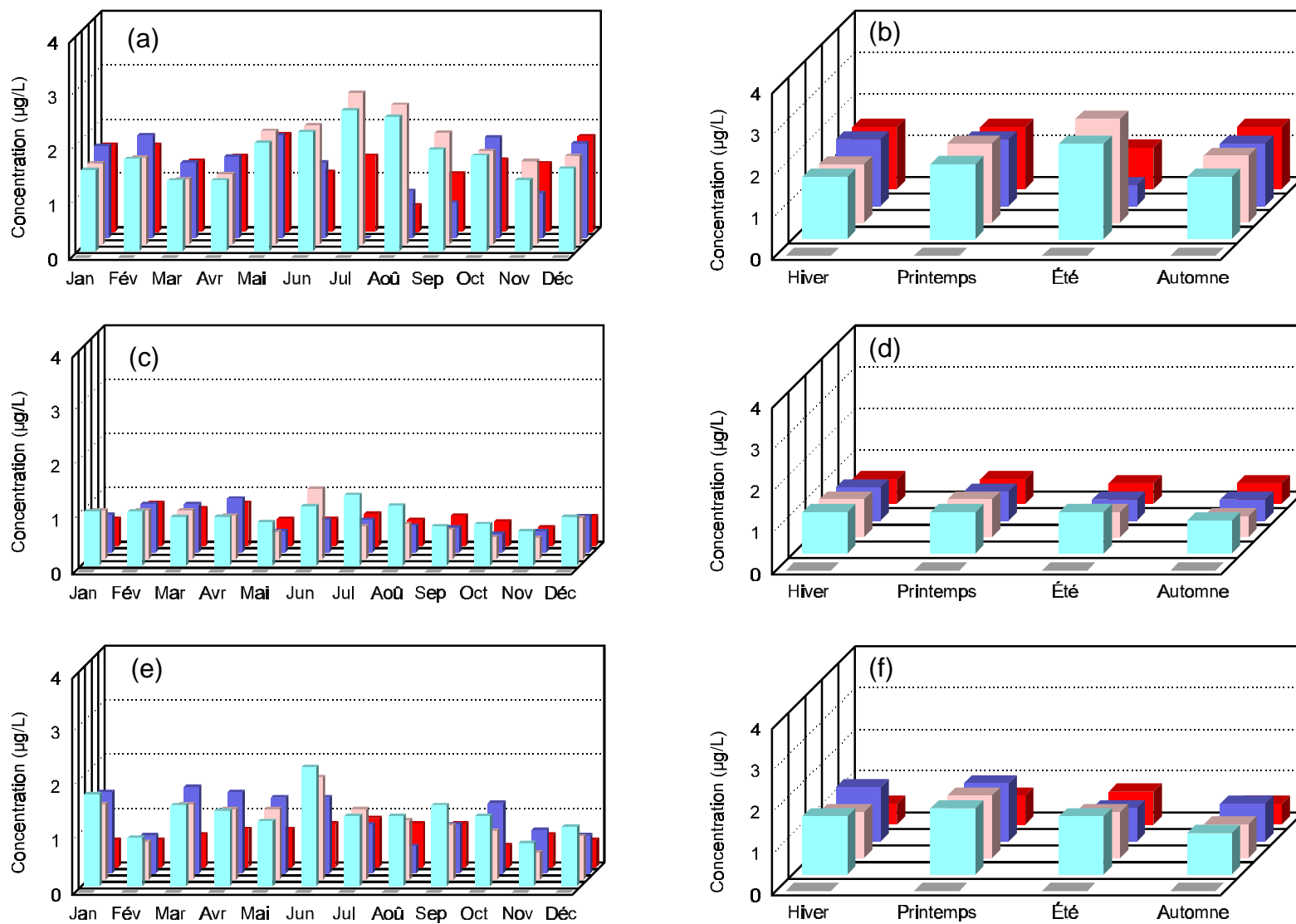


Figure 8. Variations mensuelle et saisonnière des concentrations ($\mu\text{g/L}$) de 1,1-dichloro-2-propanone (DCP) pour Ottawa (a) & (b), Hull (c) & (d) et Buckingham (e) & (f); brute (B) \square , traitée (T) \square , distribution 1 (D1) \square , distribution 2 (D2) \square et distribution 3 (D3) \square .